

北海道大学 正員 角田与史雄

1. 序言

鉄筋コンクリートスラブの降伏線理論は約30年前にJohansenによって確立された塑性解析法の一
種で、理論上は曲げ崩壊荷重に対する上界解を与えるが、実際のスラブには降伏線解析において考慮
されない附加抵抗が存在するので、機構の型式を適当に仮定する限り一般に安全側の値を与えること
が知られている。本文は、基礎構造物等においてしばしば見られる厚さの変化する直交配筋の鉄筋コ
ンクリートスラブに対して降伏線理論を適用したものである。

2. 仕事法による解法

変厚スラブにおいてはたとえ鉄筋が一定間隔に配置されても降伏モーメントの値は位置によ
つて変化する。いま鉄筋方向をxおよびy軸にとり、任意に選ばれた降伏モーメントの標準値を m_0 と
おくとき、位置(x, y)におけるxおよびy方向の降伏モーメントの値をそれぞれ $m_0 \cdot g_x(x, y)$
および $m_0 \cdot g_y(x, y)$ と表められるものとすれば、降伏線 j ; $y = k_j x + l_j$, の単位長さ当たりの
法線方向モーメントの大きさは次のように表められる;

$$m_{nj}(x) = m_0 g_{nj}(x, \lambda_i), \quad g_{nj}(x, \lambda_i) = g_x(x, k_j + l_j) \cos^2 \phi_j + g_y(x, k_j x + l_j) \sin^2 \phi_j \quad (1)$$

ここに λ_i ($i = 1, 2 \dots$)は降伏線の位置を表す未知量、および ϕ_j は降伏線とy軸とのなす角($k_j = \tan \phi_j$)を表めます。

いま、スラブ内の任意点の塑性たわみ速度を $\dot{\varphi}_0$ とおけば、他の任意位置のたわみ速度および降伏線
 j 上の位置 x における塑性回転速度は一般にそれぞれ $\dot{\varphi}_0(x, y, \lambda_i)$ および $\dot{\varphi}_0 \cdot g_j(x, \lambda_i)$ の
ように定めることができる。このとき内部エネルギー散逸率は次のようになる;

$$D_i = m_0 \dot{\varphi}_0 G(\lambda_i) \quad \text{ここに } G(\lambda_i) = \sum_j g_{nj}(x, \lambda_i) \dot{\varphi}_0(x, \lambda_i) dx \quad (2)$$

また、スラブに作用する荷重の分布を $w_0 \cdot \psi(x, y)$ とおけば、外部仕事率は次式によって求めるこ
とができる;

$$D_e = w_0 \dot{\varphi}_0 F(\lambda_i) \quad \text{ここに } F(\lambda_i) = \iint \psi(x, y) \dot{\varphi}_0(x, y, \lambda_i) dx dy \quad (3)$$

従って荷重と降伏モーメントとの関係は、 $D_i = D_e$ より次のようになる;

$$m_0 / w_0 = F(\lambda_i) / G(\lambda_i) \quad (4)$$

また、 λ_i の値は極値条件;

$$\partial(F/G)/\partial \lambda_i = 0 \quad \text{または} \quad F/G = (\partial F/\partial \lambda_i)/(\partial G/\partial \lambda_i) \quad (5)$$

により定められる。なお、降伏モーメントの値が不連続に変化するところの降伏線の場合のように上
式の解が実際上の意味をもたないときには物理的に定まる入値を用いる。

3. 鈎合い法による解法

鈎合い法は降伏線によって分割されたスラブ要素に働く力の鈎合い条件より解を求めるもので、降
伏線に沿って作用するせん断力およびねじりモーメントの影響をこれに等値な節点力(ノーダルフォ
ース)に置換する方法がJohansenによって見出されて初めて可能になった。Johansenのノーダル

フォース理論は等厚スラブに対するものであるが、これを変厚スラブに拡張すれば次の通りである。

いま、降伏線 j を支配する鉄筋に対応する降伏モーメントの分布を次のように表めす；

$$m_x = F_j(x, y), \quad m_y = G_j(x, y); \quad j = 1, 2, \dots \quad (6)$$

このとき、図-1に示すように3本の降伏線 \overline{ab} , \overline{ac} および \overline{ad} が一点 $A(0, 0)$ で交わるとすれば、スラブ要素Aに関して A 点に作用する一ダルフォース K_{Aa} の値は次式によって与えられる；

$$\begin{aligned} K_{Aa} = & \frac{k_1 k_3}{k_3 - k_1} [F_3(0, 0) - F_1(0, 0)] + \frac{1}{k_3 - k_1} [G_3(0, 0) - G_1(0, 0)] \\ & - \frac{k_2 k_3}{k_3 - k_2} [F_3(0, 0) - F_2(0, 0)] - \frac{1}{k_3 - k_2} [G_3(0, 0) - G_2(0, 0)] \\ & - \frac{1}{y_1} \int_0^{y_1} \frac{\partial F_1(y/k_1, y)}{\partial x} (y_1 - y) dy + \frac{1}{y_2} \int_0^{y_2} \frac{\partial F_2(y/k_2, y)}{\partial x} (y_2 - y) dy \\ & + \frac{1}{x_1} \int_0^{x_1} \frac{\partial G_1(x, k_1 x)}{\partial y} (x_1 - x) dx - \frac{1}{x_2} \int_0^{x_2} \frac{\partial G_2(x, k_2 x)}{\partial y} (x_2 - x) dx \end{aligned} \quad (6)$$

上式の右辺の第5項目以降が変厚スラブの場合に附加される項である。3本の降伏線が同じ鉄筋によって支配される場合には上の第1～4項が消えるので等厚スラブにおいては K_{Aa} は0になるが、変厚スラブでは一般に0にはならないことがわかる。

実際に用いられる変厚RCスラブにおいては、厚さが直線的に変化する場合が多い。このときには降伏モーメントの値も近似的に直線変化とみなすことができる。すなわち各降伏線に対して

$$m_x = a_j + b_j x + c_j y, \quad m_y = \bar{a}_j + \bar{b}_j x + \bar{c}_j y; \quad j = 1, 2, \dots \quad (7)$$

とおくとき(6)式は次のようになる；

$$\begin{aligned} K_{Aa} = & \frac{k_1 k_3}{k_3 - k_1} (a_3 - a_1) + \frac{1}{k_3 - k_1} (\bar{a}_3 - \bar{a}_1) - \frac{k_2 k_3}{k_3 - k_2} (a_3 - a_2) - \frac{1}{k_3 - k_2} (\bar{a}_3 - \bar{a}_2) \\ & - (b_1 y_1 - \bar{b}_1 y_2 - c_1 x_1 + \bar{c}_1 x_2) / 2 \end{aligned} \quad (8)$$

さらに3本の降伏線が同じ鉄筋に支配される場合には

$$K_{Aa} = -b(y_1 - y_2) / 2 + \bar{c}(x_1 - x_2) / 2 \quad (9)$$

さらに図-2に示すように降伏線 \overline{ab} がスラブの自由縁と交わる場合には、自由縁上降伏モーメントが0である降伏線とみなすことにより

$$K_{Aa} = \frac{k_1 k_0 a + \bar{a}}{k_0 - k_1} + \frac{b y_1 - \bar{c} x_1}{2} \quad (10)$$

さらに降伏線が自由縁と直角に交わるときには

$$K_{Aa} = b y_0 / 2 \quad (11)$$

4. 計算例

変厚RCスラブの典型的な例として水圧または土圧を受ける構造物にしばしば見られる3辺固定(連続)、1辺自由の厚さが直線的に変化するスラブが等分布荷重を受ける場合についての数値計算

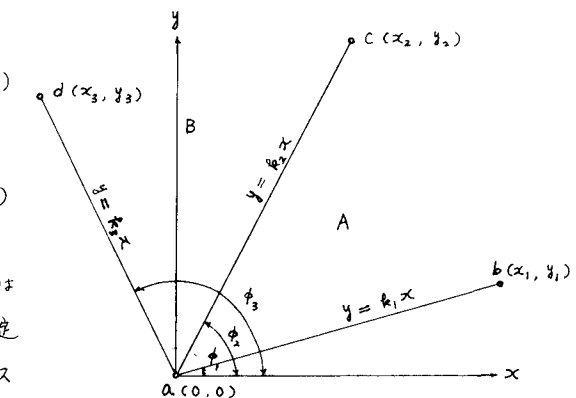


図-1

算の結果を示す。仮定した構構のパターンは図-3の(a)および(b)の2種であり、崩壊荷重の低い値をもつ方を解を選んだ。正の降伏モーメントを

$$\begin{aligned} m_x &= m_0 (1 + \gamma y / \alpha l) \\ m_y &= \xi m_0 (1 + \gamma y / \alpha l) \end{aligned} \quad (12)$$

負の降伏モーメントを

$$\begin{aligned} m_x &= -\xi m_0 (1 + \gamma y / \alpha l) \\ m_y &= -\mu m_0 (1 + \gamma y / \alpha l) \end{aligned} \quad (13)$$

とおけば、パターン(a)に対する解は

$$\frac{m_0}{\mu l^2} = \frac{\lambda^2}{3(2+\gamma)(1+\xi-\xi\lambda^2/\alpha^2)} \quad (14)$$

ここに

$$\lambda = \sqrt{4+3A} - 4, \quad A = \{ 3\xi(2+\gamma) + 2\mu(1+\gamma) \} / \lambda^2(1+\xi)(2+\gamma) \quad (15)$$

パターン(b)に対しては

$$\frac{m_0}{\mu l^2} = \frac{\lambda^2 \lambda^2}{6(\xi+\mu)(1+\gamma)} \quad (16)$$

ここに

$$\lambda = \sqrt{1+3A} - 1, \quad A = \{ 4\alpha^2(\alpha+\gamma)(1+\xi) - \xi\gamma \} / \alpha(\xi+\mu)(1+\gamma) \quad (17)$$

数値計算は次の変数値の組合せに対して行った；

形状比 $\alpha = 1.0, 0.5, 0.25, 0.125, 0.0625$

変厚比 $\gamma = 0, 1, 2, 3, 4$

鉄筋比 $\xi = 0.5, 1, 2, 3, 4$

$\therefore \xi = 0.5, 1, 2, 3, 4$

$\therefore \mu = 0.5, 1, 2, 3, 4$

計算結果の典型的な例を図-4～8に示す。なお、これらの図において縦軸には、与えられた崩壊荷重に対する必要鉄筋量の合計に関する指標として、次の量を用いてある；

$$M = m_0 \frac{1+\xi+\xi+\mu}{4} \left(1 + \frac{\gamma}{2} \right) \quad (18)$$

図-4は ξ の影響を示したもので、 ξ の小さいほど一般にMは小さくなり、その傾向は ξ の値が大きい場合に著しい。

図-5は γ の影響を示したもので、その傾向は

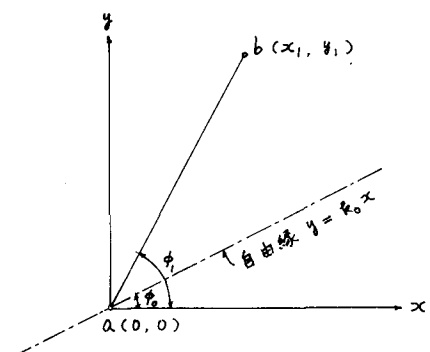


図-2

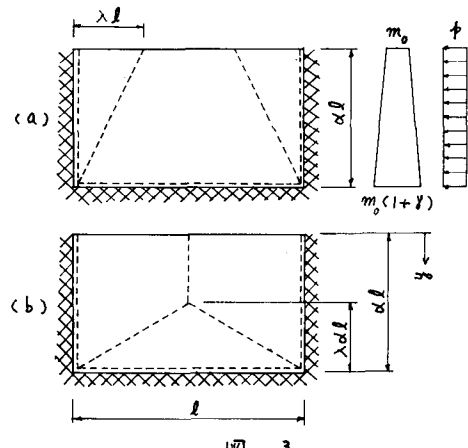


図-3

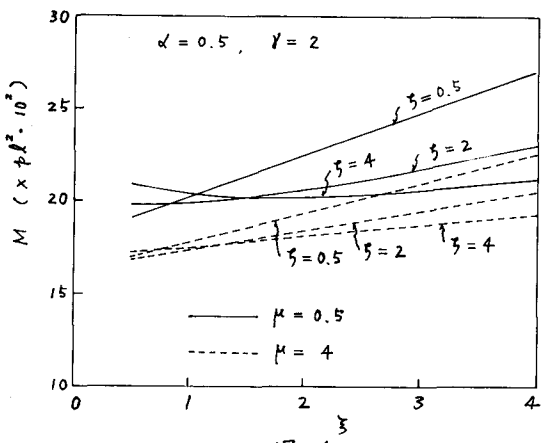


図-4

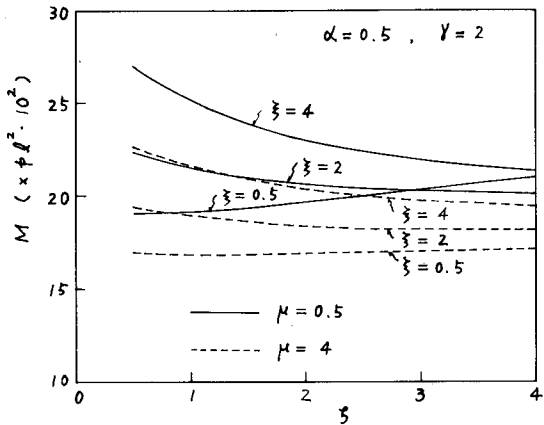


図-5

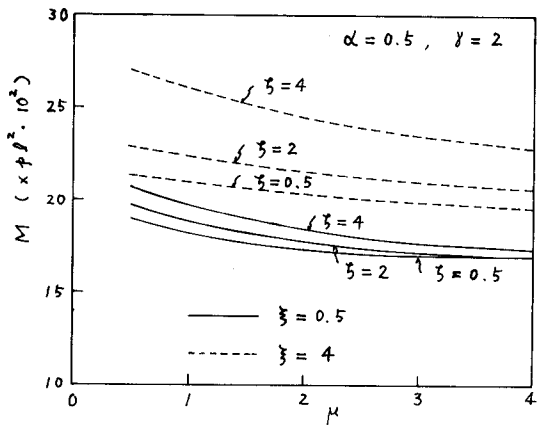


図-6

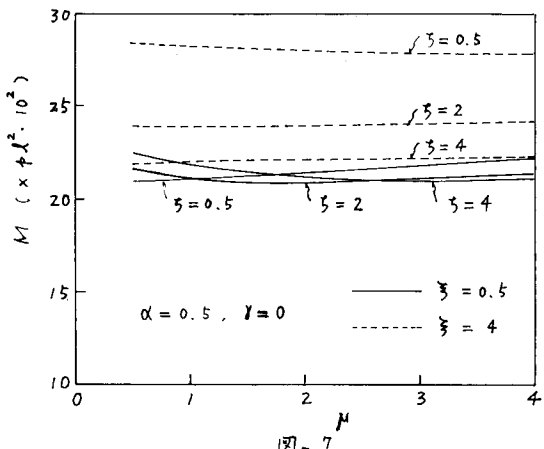


図-7

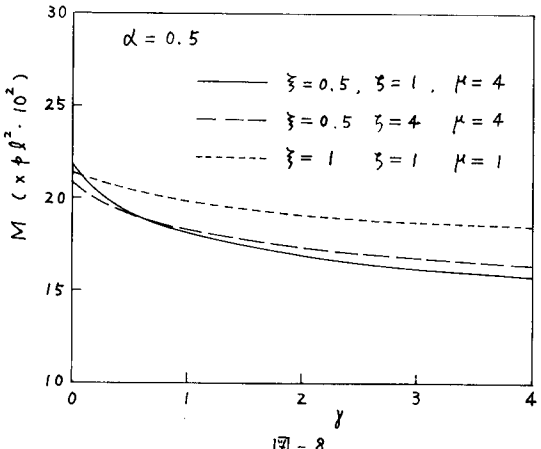


図-8

ξ の値によって異なり、 ξ が大きい場合には M は ξ の増加とともに減少するのに対し、 ξ の値が小さい場合には逆に ξ の値を小さくする方が M の値を小さくなる。

図-6は μ の影響を示したもので、等厚スラブの場合(図-7)には μ の影響がほとんど見られないのに対して、変厚スラブでは μ の値を大きくとる方が M の値を小さくすることができるがわかる。

以上の結果より、同じ崩壊荷重に対しては、 ξ の値を小さく、 μ の値を大きく選ぶことにより合計鉄筋量を小さくすることができます。図-8はそのような場合の変厚比 ξ の影響を示したものである。